

УДК 539.3

ПРИМЕНЕНИЕ МЕТОДА ГРАНИЧНЫХ ИНТЕГРАЛЬНЫХ УРАВНЕНИЙ ДЛЯ АНАЛИЗА ЗАДАЧ ТРЕХМЕРНОЙ ДИНАМИЧЕСКОЙ ТЕОРИИ ТЕРМОУПРУГОСТИ^{*)}

Л.А. Игумнов, С.Ю. Литвинчук, В.П. Пазин

НИИ механики Нижегородского государственного университета им. Н.И. Лобачевского

Рассматривается трехмерная математическая теория термоупругости. Для анализа соответствующих начально-краевых задач выписаны граничные интегральные уравнения и гранично-элементная схема их решения. Особое внимание уделено граничным интегральным уравнениям для анализа задачи рассеяния открытой поверхностью термоупругого поля в трехмерном пространстве.

Ключевые слова: трехмерная термоупругость, динамика, граничные интегральные уравнения, граничный элемент, рассеяние волн.

Введение

Математическая теория термоупругости систематично изложена в работах Купрадзе [1], Leis [2] и Nowacki [3]. Начиная с работ Био [4, 5] отмечается аналогия между теориями термо- и пороупругости. Становление применения метода граничных интегральных уравнений к анализу трехмерных задач динамики теории упругости и термоупругости показывает монография [1]. Вслед за В.Д. Купрадзе [1] методы теории потенциала для замкнутых областей разрабатывались в статьях [6, 7]. Гранично-элементное моделирование этих задач началось с решения второй основной задачи теории упругости на основе шаговых схем (применений локальных сплайн-аппроксимаций по времени) [8]. Гранично-элементные решения задач термоупругости появились позднее [9, 10]. В последние десятилетия разрабатывался метод двойного применения теоремы взаимности [11] для анализа задач термоупругости. Отметим, что на основе классических граничных интегральных уравнений (ГИУ) можно построить шаговую гранично-элементную схему (ГЭ-схему), пример построения которой для уравнений теплопроводности имеется в [12]. Такая схема приведена в соответствующем разделе настоящей статьи. Применение метода ГИУ и метода граничных элементов (МГЭ) к анализу динамических задач пороупругости имеет свою историю [13–15]. Среди последних работ отметим [16–18]. Кроме того, задачи, связанные с рассеянием волн очень тонким препятствием, приобрели

^{*)} Выполнено в рамках реализации ФЦП «Научные и научно-педагогические кадры инновационной России» на 2009–2013 годы, Программы государственной поддержки ведущих научных школ России (проект НШ-4807.2010.8), а также при поддержке РФФИ (проект 10-08-01017-а).

особую важность (например, неразрушающий контроль и т.п.), в настоящей статье представлены ГИУ для трехмерных задач термоупругого рассеяния открытой поверхностью типа экран. При этом рассеянное поле удовлетворяет определяющему уравнению сопряженной системы Био для термоупругих колебаний в сочетании с граничными условиями на экране. Во всех случаях предполагается выполнение условий асимптотического излучения Купрадзе на бесконечности. Отметим, что в работах [19–21] исследовалось термоупругое рассеяние замкнутым включением. Исследование рассеяния от открытой поверхности, как это было отмечено в работах [22–30], представляет существенные вычислительные трудности. При рассмотрении задачи о рассеянии выбрана слабая модель на основе формулы Грина.

1. Математическая модель

Рассмотрим область $\Omega \subset R^3$ с границей $\partial\Omega$ как однородную изотропную термоупругую среду типа Био, которая характеризуется константами Ламе λ, μ , плотностью ρ , коэффициентом тепловой диффузии χ и константами сопряжения γ и η .

Модель начально-краевых задач имеет вид:

$$\begin{aligned} \mu\Delta u + (\lambda + \mu)\nabla(\nabla \cdot u) - \gamma\nabla\theta &= \rho\ddot{u}, \\ \Delta\theta - \frac{1}{\chi}\dot{\theta} - \eta\nabla \cdot \dot{u} &= 0, \end{aligned} \quad (1)$$

где $x = (x_1, x_2, x_3) \in R^3$, $u = (u_1, u_2, u_3)$ – вектор смещений, θ – температура среды, точка над функцией обозначает дифференцирование по времени.

После применения интегрального преобразования Лапласа по переменной времени t в (1) система уравнений термоупругости запишется в виде:

$$\begin{aligned} \mu\Delta u + (\lambda + \mu)\nabla(\nabla \cdot u) - \gamma\nabla\theta + \rho p^2 u &= 0, \\ \Delta\theta + \frac{p}{\chi}\theta + p\eta\nabla \cdot u &= 0, \end{aligned} \quad (2)$$

где p – параметр преобразования Лапласа. В символической форме записи получаем

$$L(\nabla, p)v(x) = 0,$$

где

$$\begin{aligned} v &= (u, u_4), \quad u_4 \equiv \theta, \\ L(\nabla, p) &= \begin{bmatrix} (\mu\Delta + \rho p^2)I_3 + (\lambda + \mu)\Delta\nabla & -\gamma\nabla \\ p\eta\nabla & \Delta + p/\chi \end{bmatrix}, \end{aligned}$$

I_3 – трехмерная единичная матрица. Обозначим $q = p/\chi$. Запишем краевые условия:

$$v = y, \quad x \in (\partial\Omega)^u, \quad t = q, \quad x \in (\partial\Omega)^\sigma,$$

$$t = T(\nabla, n(x))u - \gamma n(x)\theta = P(\nabla, n(x))v = P_n v,$$

где $T(\nabla, n(x))$ – оператор напряжений классической теории упругости; $n(x)$ – нормаль к площадке, содержащей точку x .

Пусть справедливо

$$(\Delta + k_i^2)v^i(x) = 0, \quad i = 1, 2, 3,$$

$$(\Delta + k_j^2)\theta^j(x) = 0, \quad (j = 1, 2, \text{ по } i, j \text{ нет суммирования}),$$

$$\nabla \times \mathbf{v}^j = 0, \quad \nabla \cdot \mathbf{u}^3 = 0,$$

$$k_1^2 + k_2^2 = q(1 + \varepsilon) + k_4^2, \quad k_1^2 k_2^2 = qk_4^2, \quad \mu k_3^2 = \rho p^2,$$

$$k_4 = p\sqrt{\rho/(\lambda + 2\mu)}, \quad \varepsilon = \gamma\eta\chi/(\lambda + 2\mu).$$

Решение $\mathbf{v}(x)$ систем (1), (2), следуя [1], представим в виде:

$$\mathbf{v}(x) = \mathbf{v}^1(x) + \mathbf{v}^2(x) + \mathbf{v}^3(x), \quad (3)$$

где

$$\mathbf{v}^1(x) = (u^1(x), \theta^1(x)), \quad \mathbf{v}^2(x) = (u^2(x), \theta^2(x)), \quad \mathbf{v}^3(x) = (u^3(x), 0).$$

Фундаментальное решение

$$L(\nabla, p)U = I_4\delta$$

в форме записи (3)

$$U(x, y) = U^1(x, y) + U^2(x, y) + U^3(x, y)$$

имеет следующий вид:

$$U^1(x, y) = \frac{1}{\rho p^2 (k_1^2 - k_2^2)} \begin{bmatrix} (k_4^2 - k_2^2) \nabla_x \nabla_x & \gamma k_4^2 \nabla_x \\ -\chi \eta q k_4^2 \nabla_x & \rho (k_4^2 - k_2^2) p^2 \end{bmatrix} \frac{e^{k_1|x-y|}}{|x-y|},$$

$$U^2(x, y) = \frac{-1}{\rho p^2 (k_1^2 - k_2^2)} \begin{bmatrix} (-k_4^2 + k_1^2) \nabla_x \nabla_x & -\gamma k_4^2 \nabla_x \\ -\chi \eta q k_4^2 \nabla_x & \rho (k_4^2 - k_2^2) p^2 \end{bmatrix} \frac{e^{k_2|x-y|}}{|x-y|},$$

$$U^3(x, y) = -\frac{1}{\rho p^2} \begin{bmatrix} (-k_3^2 I_3) + \nabla_x \nabla_x & 0 \\ 0 & 0 \end{bmatrix} \frac{e^{k_3|x-y|}}{|x-y|}.$$

Для $r = |x - y| < \varepsilon$ можем записать оценку:

$$|U_{kj}(x, y)| \leq cr^{-1}, \quad j, k = \overline{1, 4}, \text{ константа } c > 0.$$

Также справедливо, как показано в [1], что при $|x - y| \rightarrow \infty$

$$u^j(x) = o(|x|^{-1}), \quad \nabla u_j(x) = O(|x|^{-2}), \quad \theta^j(x) = o(|x|^{-1}),$$

$$\nabla \theta^j(x) = O(|x|^{-2}), \quad u^3(x) = O(|x|^{-1}), \quad i = \overline{1, 3}, \quad j = 1, 2.$$

Такое поведение регулярных и фундаментальных решений позволяет построить сингулярные ГИУ, выделить в них особенности и на основе регуляризованных ГИУ построить ГЭ-схему.

2. Граничные интегральные уравнения

Получим интегральные представления и ГИУ на основе формулы Грина. Пусть $\mathbf{u}, \bar{\mathbf{u}}$ – регулярные трехмерные векторы, где $\mathbf{v} = (\mathbf{u}, \theta)$ – решение (1). Можем записать следующее тождество [1]:

$$\int_{\Omega} \left[E(u, \bar{u}) + \nabla \theta \cdot \nabla v_4 - p\eta \nabla \cdot u v_4 - \gamma \theta \nabla \cdot \bar{u} - \rho p^2 u \cdot \bar{u} - \frac{p}{\chi} \theta v_4 \right] d\Omega =$$

$$= \int_{\partial\Omega} \left[(Tu - \gamma m \theta) \cdot \bar{u} + \frac{\partial \theta}{\partial n} v_4 \right] ds, \quad v = (\bar{u}, v_4),$$

где

$$E(u, \bar{u}) = \lambda(\nabla \cdot u)(\nabla \cdot \bar{u}) + \mu \sum_{p,q=1}^3 \nabla_q \bar{u}_p (\nabla_q u_p + \nabla_p u_q), \quad E(u, \bar{u}) = E(\bar{u}, u).$$

После преобразований получим формулу Грина для термоупругости

$$\frac{2\gamma}{p\eta} \int_{\Omega} |\nabla \theta|^2 d\Omega = \int_{\partial\Omega} \left[\bar{u} \cdot (Tu - \gamma m \theta) + \frac{\gamma}{p\eta} \theta \frac{\partial v_4}{\partial n} - u \cdot (T\bar{u} - \gamma m v_4) + \frac{\gamma}{p\eta} v_4 \frac{\partial \theta}{\partial n} \right] ds.$$

Аналог теоремы взаимности для термоупругости записывается в виде:

$$\int_{\Omega} [v \cdot L^* v - v \cdot Lv] dr = \int_{\partial\Omega} [v \cdot R^* v - v \cdot Rv] ds,$$

где

$$R = R(\nabla, n) = \begin{bmatrix} T(\nabla, n) & -\gamma m \\ 0 & \nabla \cdot n \end{bmatrix}.$$

После преобразований интегральное представление решения для прямой формулировки будет иметь вид:

$$v(x) = \pm \frac{1}{4\pi} \int_{\partial\Omega} [v(y) \cdot R^*(\nabla, n) U(x, y) - U(x, y) \cdot R(\nabla, n) v(r')] d_y s(y),$$

$$x \in \Omega \quad (x \in \mathbb{R}^3 / \bar{\Omega}).$$

Запишем интегральное представление для случая решения задачи рассеяния термоупругим экраном Γ (гладкая поверхность в \mathbb{R}^3) с краем $\partial\Gamma$ [31]:

$$v(x) = -\frac{1}{4\pi} \int_{\partial\Omega} [v_1(y) \cdot R^*(\nabla, n) U(x, y) - U(x, y) \cdot R(\nabla, n) v_1(y)] d_y s,$$

$$0 = -\frac{1}{4\pi} \int_{\partial\Omega} [v_2(y) \cdot R^*(\nabla, n) U(x, y) - U(x, y) \cdot R(y, n) v_2(y)] d_y s.$$

Тогда граничные интегральные уравнения будут иметь вид:

$$\frac{1}{2}(v_1(x) + v_2(x)) = -\frac{1}{4\pi} \int_{\Gamma} [G](y) \cdot R^*(\nabla, n) U(x, y) d_y s +$$

$$+ \frac{1}{4\pi} \int_{\Gamma} U(x, y) [Tu - \gamma m \theta, \partial\theta/\partial n]^T(y) \cdot d_y s +$$

$$+ \frac{1}{4\pi} \int_{\partial B} [v_2(y) \cdot R^*(\nabla, n) U(x, y) - U(x, y) \cdot R^*(\nabla, n) v_2(y)] d_{y,s}, \quad x \in \partial \Omega_1,$$

$$\Gamma \subset \Omega_1, \quad \Omega_1 \subset B = \{x, |x| \leq r_B\}, \quad \Omega_2 = B \cap (R^3 \setminus \overline{\Omega_1}),$$

где

$$B_k v = G_k, \quad x \in \Gamma_1; \quad B_k v = G_k, \quad x \in \Gamma_2; \quad k = \overline{1, 4}, \quad G_1 = (g_1, q_1), \quad G_2 = (g_2, q_2);$$

$$[g] = g_1 - g_2, \quad [q] = q_1 - q_2, \quad B_1(\nabla, n) = I_4, \quad B_2(\nabla, n) = R(\nabla, n),$$

$$B_3(\nabla, n) = \begin{bmatrix} I_3 & 0 \\ 0 & \nabla \cdot n \end{bmatrix}, \quad B_4(\nabla, n) = \begin{bmatrix} T(\nabla, n) & -\gamma n \\ 0 & 1 \end{bmatrix},$$

$\Gamma = \Gamma_1 \cup \Gamma_2 \cup \partial \Gamma$, n – внешняя нормаль, направленная к Γ_2 .

3. Гранично-элементная дискретизация

Базовый процесс ГЭ-дискретизации состоит в разбиении границы на N_E граничных элементов E_e ($1 \leq e \leq N_E$) совокупностью четырехугольных и треугольных восьмиузловых биквадратичных элементов [32]. При этом треугольные элементы рассматриваются как вырожденные четырехугольные элементы (рис. 1), каждый из которых отображается на контрольный элемент Δ_e (каждый Δ_e – это либо квадрат $\xi = (\xi_1, \xi_2) \in [-1, 1]^2$, либо треугольник $0 \leq \xi_1 + \xi_2 \leq 1, \xi_1 \geq 0, \xi_2 \geq 0$). Элемент E_e отображается на элемент Δ_e с помощью уравнения:

$$y_i(\xi) = \sum_{l=1}^8 N^l(\xi) y_i^{\beta(k,l)}, \quad i = 1, 2, 3, \quad \xi \in \Delta_e,$$

где $\beta(k, l)$ – глобальный номер узла, имеющего в k -м элементе локальный номер l ; $N^l(\xi)$ – функции формы. В качестве функций формы выбраны квадратичные полиномы интерполяции. Естественный базис (a_1, a_2) , метрический тензор g и единичная нормаль n на E_e запишутся как

$$a_\alpha(\xi) = \sum_{q=1}^N N_\alpha^q(\xi) x^q, \quad g_{\alpha\beta}(\xi) = a_\alpha(\xi) \cdot a_\beta(\xi),$$

$$J(\xi) n(\xi) = a_1 \wedge a_2, \quad J^2(\xi) = (g_{11}g_{22} - g_{12}^2)$$

$$(\xi \in \Delta_e; \quad \alpha, \beta = 1, 2).$$

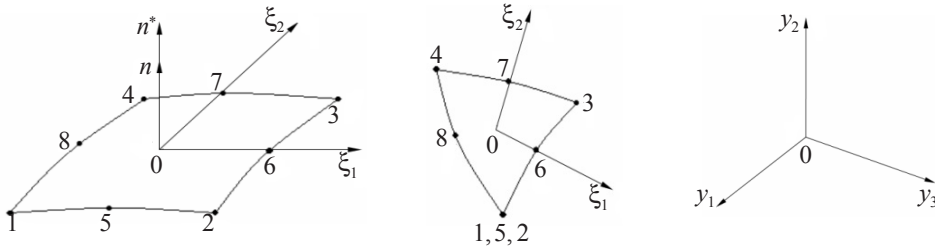


Рис. 1

Неизвестные граничные поля (v, t) также интегрируются через узловые значения $v^k = v(z^k)$ и $t^k = t(z^k)$ в интерполяционных узлах z^k . Множество интерполяционных узлов отличается от множества геометрических узлов, а множество интерполяционных функций не совпадает с множеством функций формы. Рассмотрим случай, называемый согласованным интерполированием, где для аппроксимации обобщенных граничных перемещений применим билинейные элементы, а для аппроксимации обобщенных поверхностных сил – постоянные элементы. При этом для расчетного значения параметра p будем иметь следующие выражения граничных перемещений и поверхностных сил внутри элемента S_k :

$$v_i(y) = \sum_{l=1}^4 R^l(\xi) v_i^{\chi(k,l)}, \quad i = 1, 2, 3; \quad y \in S_k,$$

$$t_i(y) = t_i^{\chi(k,l)}, \quad i = 1, 2, 3; \quad y \in S_k.$$

Здесь $R^l(\xi)$ – функции формы для линейного четырехугольного элемента.

Для получения дискретного аналога ГИУ применим метод коллокации. В качестве узлов коллокации y^m будем выбирать узлы аппроксимации исходных граничных функций. В итоге формируется система линейных алгебраических уравнений. Специфику вычислительного процесса определяют особенности в коэффициентах дискретного аналога. Рассматриваются два случая. Первый – интеграл по элементу регулярен и интегрирование по элементу сведено к повторному интегрированию по локальным координатам. По каждой из координат используются квадратурные формулы Гаусса. Второй случай – интеграл сингулярный, предварительно используются дополнительные преобразования, а затем уже формулы Гаусса.

Заключение

С учетом известной аналогии задач термоупругости и пороупругости результаты гранично-элементного моделирования соответствующих решений ГИУ можно найти в работах [16–18], которые посвящены применению МГЭ к динамическим задачам пороупругости. Кроме того, эта же аналогия позволяет рекомендовать применение приведенных ГИУ к задачам рассеяния экраном, помещенным в трехмерное пороупругое пространство.

Литература

1. Трехмерные задачи математической теории упругости и термоупругости / В.Д. Купрадзе [и др.]; Под ред. В.Д. Купрадзе. – М.: Наука, 1976. – 664 с.
2. *Leis, R.* Initial boundary value problems in mathematical physics / R. Leis. – New York: Wiley, 1986.
3. *Новацкий, В.* Динамические задачи термоупругости / В. Новацкий. – М.: Мир, 1970. – 256 с.
4. *Biot, M.* Theory of propagation of elastic waves in a fluid-saturated porous solid. I. Low-frequency range / M. Biot // J. Acoust. Soc. Am. – 1956. – V. 28, № 2. – P. 168–178.
5. *Biot, M.* Theory of propagation of elastic waves in a fluid-saturated porous solid. II. Higher-frequency range / M. Biot // J. Acoust. Soc. Am. – 1956. – V. 28, № 2. – P. 179–191.
6. *Jentsch, L.* Thermoelastic oscillations of anisotropic bodies / L. Jentsch, D. Natroshvili // Preprint 96-1, Technische Universitat Chemnitz, Fakultat fur Mathematik, 1996.
7. *Jentsch, L.* Interaction between thermoelastic and scalar oscillation fields / L. Jentsch, D. Natroshvili // Integral Equations Operator Theory. – 1997. – №28. – P. 261–288.
8. *Угодчиков, А.Г.* Метод граничных элементов в механике деформируемого твердого тела / А.Г. Угодчиков, Н.М. Хуторянский. – Казань: Изд-во КГУ, 1986. – 296 с.

9. *Beskos, D.E.* Boundary element methods in dynamic analysis: Part II, 1986–1996 / D.E. Beskos // *Appl. Mech. Reviews.* – 1997. – Vol. 50. – P. 149–197.
10. *Mackerli, J.* FEM and BEM in the context of information retrieval / J. Mackerli // *Computers and Structures.* – 2002. – № 80. – P. 1595–1604.
11. *Gaul, L.* Boundary element methods for engineers and scientists / L. Gaul, M. Kogl, M. Wagner. – Berlin: Springer, 2003. – 488 p.
12. *Lubich, C.* Time discretization of parabolic boundary integral equations / C. Lubich, R. Schneider // *Numerische Mathematik.* – 1992. – V. 63. – P. 455–481.
13. *Дунин, С.З.* Продольные волны в частично насыщенных пористых средах. Влияние газовых пузырьков / С.З. Дунин, Д.Н. Михайлов, В.Н. Николаевский // *ПММ.* – 2006. – Т. 70. – Вып. 2. – С. 282–294.
14. *Schanz, M.* Wave propagation in viscoelastic and poroelastic continua / M. Schanz. – Berlin: Springer, 2001. – 170 p.
15. *Schanz, M.* Wave propagation in a simplified modelled poroelastic continuum: Fundamental solutions and a time domain boundary element formulation / M. Schanz, V. Struckmeier // *Int. J. Numer. Meth. Engng.* – 2005. – V. 64. – P. 1816–1839.
16. Граничные интегральные уравнения для решения динамических задач трехмерной теории поропругости / А.В. Аменицкий [и др.] // *Проблемы прочности и пластичности: Межвуз. сб. / Нижегород. ун-т.* – 2009. – Вып. 71. – С. 164–171.
17. Модификация методики численного решения регулярных граничных интегральных уравнений трехмерной динамической теории упругости / А.А. Белов [и др.] // *Проблемы прочности и пластичности: Межвуз. сб. / Нижегород. ун-т.* – 2009. – Вып. 71. – С. 172–177.
18. *Аменицкий, А.В.* Развитие метода граничных элементов для решения проблемы распространения волн в пористых средах / А.В. Аменицкий, Л.А. Игумнов, И.С. Карелин // *Проблемы прочности и пластичности: Межвуз. сб. / Нижегород. ун-т.* – 2008. – Вып. 70. – С. 71–78.
19. *Cakoni, F.* The coated thermoelastic body within a low-frequency elastodynamic field / F. Cakoni, G. Dassios // *Int. J. Engng. Sci.* – 1998. – №36. – P. 1815–1838.
20. *Cakoni, F.* Boundary integral method for thermoelastic screen scattering problem in R^3 / F. Cakoni // *Mathematical methods in the applied sciences. Math. Meth. Appl. Sci.* – 2000. – №23. – P. 441–466.
21. *Dassios, G.* The scattering amplitudes and cross-sections in the theory of thermoelasticity / G. Dassios, V. Kostopoulos // *SIAM J. Appl. Math.* – 1988. – №48. – P. 79–98.
22. *Costabel, M.* An improved boundary element Galerkin method for three-dimensional crack problems / M. Costabel, E.P. Stephan // *Integral Equations Operator Theory.* – 1987. – №10. – P. 467–505.
23. *Stephan, E.P.* Boundary integral equations for mixed boundary value problems, screen and transmission problems in R^3 , Habilitationsschrift / E.P. Stephan. THD-Preprint 848, Math. Dept., TH Darmstadt, 1984.
24. *Stephan, E.P.* A boundary integral equation method for three-dimensional crack problems in elasticity / E.P. Stephan // *Math. Meth. in Appl. Sci.* – 1986. – №8. – P. 609–623.
25. *Stephan, E.P.* Boundary integral equations for screen problems in R^3 / E.P. Stephan // *Integral Equations Operator Theory.* – 1987. – №10. – P. 236–257.
26. *Wendland, W.L.* Boundary element methods and their asymptotic convergence / W.L. Wendland // *Theoretical Acoustics and Numerical Techniques / Ed. P. Filippi.* – Vienna: Springer-Verlag, 1983. – Vol. 277. – P. 135–215.
27. *Wendland, W.L.* A hypersingular boundary integral method for two-dimensional screen and crack problems / W.L. Wendland, E.P. Stephan // *Arch. Rat. Mech. Anal.* – 1990. – №112. – P. 363–390.
28. *Wendland, W.L.* The boundary element method of three-dimensional Stokes flows exterior to an open surface / W.L. Wendland, J. Zhu // *Math. Comput. Modelling.* – 1991. – №15. – P. 19–42.
29. *Chapko, R.* On the numerical solution of a hypersingular integral equation for elastic scattering from a planar crack / R. Chapko, R. Kress, L. Monch // *IMA J. of Num. Anal.* – 2000. – №20. – P. 601–619.

30. *Duduchava, R.* The Wiener-Hopf method for systems of pseudodifferential equations with an application to crack problems / R. Duduchava, W.L. Wendland // Integral Equations Operator Theory. – 1995. – № 23. – P. 295–335.

31. *Cakoni, F.* Boundary integral method for thermoelastic screen scattering problem in R^3 / F. Cakoni // Math. Meth. Appl. Sci. – 2000. – № 23. – P. 441–466.

32. *Баженов, В.Г.* Методы граничных интегральных уравнений и граничных элементов в решении задач трехмерной динамической теории упругости с сопряженными полями / В.Г. Баженов, Л.А. Игумнов. – М.: Физматлит, 2008. – 352 с.

[21.09.2010]

USING OF THE METHOD OF BOUNDARY INTEGRAL EQUATIONS FOR ANALYZING THE PROBLEMS OF 3-D DYNAMIC THERMAL ELASTICITY

L.A. Igumnov, S.Yu. Litvinchuk, V.P. Pazin

The 3-D mathematical theory of thermal elasticity is considered. To analyze the related initial boundary-value problems, boundary integral equations and a BE-scheme for analyzing them are written. Special attention is paid to the boundary integral equations for analyzing the problem of scattering from an open surface of a thermal elastic field in a 3-D space.

Key words: 3-D thermal elasticity, dynamics, boundary integral equations, boundary element, scattering of waves.